

© 1992 г. В. С. Попов, А. В. Сергеев *, А. В. Щеблыкин

О СТРУКТУРЕ ВЫСШИХ ПОРЯДКОВ 1/n-РАЗЛОЖЕНИЯ

Найден вид асимптотики высших порядков 1/n-разложения в задачах квантовой механики. Показано, что коэффициенты 1/n-разложения $\varepsilon^{(k)}$ факториально возрастают пропорционально $k!a^k$ при $k \rightarrow \infty$, и исследована зависимость параметра a от константы связи. Полученные аналитические формулы согласуются с численными расчетами. В качестве примеров рассмотрены потенциалы Юкавы, Хюльтена и воронки, а также эффект Штарка в атоме водорода и молекулярный ион H_2^+ .

1. Среди новых методов квантовой механики особое место занимает 1/n-разложение (см., например, [1–14]), которое весьма эффективно для высоковозбужденных (ридберговских) состояний атомов и молекул, в том числе при рассмотрении эффектов в сильных внешних полях [3, 5–7]. Далее рассматривается вариант этого метода, предложенный в [4], характерной особенностью которого является возможность его применения не только в случае дискретного спектра, но и для квазистационарных состояний (резонансов). Значения энергии, комплексные в последнем случае ($E_{nl} = E_r - i\Gamma/2$), представляются в виде рядов по степеням «малого параметра» 1/n:

$$\varepsilon = \varepsilon' - ie'' = \varepsilon^{(0)} + \frac{\varepsilon^{(1)}}{n} + \dots + \frac{\varepsilon^{(k)}}{n^k} + \dots, \quad (1)$$

где $n = n_r + l + 1$ – главное квантовое число, l – орбитальный момент, $\varepsilon = -2n^2 E_{nl}$ – приведенная энергия уровня, $e'' = n^2 \Gamma_{nl}$, k – порядок 1/n-разложения.

Поведение коэффициентов $\varepsilon^{(k)}$ при $k \gg 1$ имеет помимо теоретического интереса существенное значение при вычислении энергии с высокой точностью на основе разложения (1). Как известно, расходимость рядов обычной теории возмущений (ТВ) связана с нестабильностью вакуумного состояния при изменении знака константы связи g (так называемый феномен Дайсона, впервые рассмотренный [15] в квантовой электродинамике и позднее установленный также для ангармонического осциллятора [16–18], эффектов Штарка [19–21] и Зеемана [22] и других квантовомеханических задач [23–25]). При этом оказалось, что асимптотика высших порядков ТВ, как правило, имеет вид

$$E_k \approx (k\alpha)! a^k k^\beta \left(c_0 + \frac{c_1}{k} + \frac{c_2}{k^2} + \dots \right), \quad k \rightarrow \infty, \quad (2)$$

$$E(g) = \sum_{k=0}^{\infty} E_k g^k, \quad (2a)$$

где $\alpha > 0$, β , a и т. д. – вычисляемые константы.

* Государственный оптический институт им. С. И. Вавилова.

При переходе от ТВ к $1/n$ -разложению (1) параметром разложения вместо g становится $1/n$, не входящий в гамильтониан в явном виде; при этом коэффициенты $\epsilon^{(k)}$ в отличие от высших порядков ТВ являются сложными функциями g . Поэтому требуется некоторое изменение аргументов Дайсона, которое и будет дано ниже.

2. Асимптотика высших порядков $1/n$ -разложения (численные расчеты). Используя рекуррентные соотношения (см. [8, 14]), мы вычисляли 30–50 коэффициентов $\epsilon^{(k)}$, проверяли их выход на асимптотику (2) и определили ее параметры. Такие вычисления были проведены для следующих задач: потенциал воронки

$$V(r) = -r^{-1} + gr, \quad g > 0, \quad (3)$$

и его обобщение

$$V(r) = -r^{-1} + (g/N)r^N, \quad (3a)$$

экранированный кулоновский потенциал

$$V(r) = -r^{-1}f(x), \quad x = \mu r \quad (4)$$

(μ^{-1} – характерный радиус экранировки, $\hbar = m = e = 1$), эффект Штарка в атоме водорода и его сферическая модель (что отвечает замене $g \rightarrow -g$ в формуле (3)). Эти примеры охватывают широкий класс потенциалов, встречающихся в физике, в том числе короткодействующие потенциалы Юкавы и Хюльтена, потенциал с удержанием (3), часто используемый в квантовой хромодинамике, и потенциалы, обладающие барьером.

Во всех случаях оказалось, что $\alpha = 1$, т. е. асимптотика факториальная. Представляет интерес зависимость числа a , входящего в формулу (2), от параметров задачи. Для потенциалов (4) подходящим параметром является [4] $v = n^2\mu$, причем $\mu = g^{1/n}$ в случае (3), $\mu = g^{1/(N+1)}$ и $f(x) = 1 - N^{-1}x^{N+1}$ для (3a). Наконец, для эффекта Штарка $v = n^2\mathcal{E}^{1/n} = F^n$, где \mathcal{E} – напряженность постоянного электрического поля, F – «приведенное» поле [5, 6] (используются атомные единицы).

$1/n$ -разложение строится вокруг классической точки равновесия $x_0(v)$ в эффективном потенциале, включающем центробежную энергию. При достаточно малых v эта точка и все коэффициенты $\epsilon^{(k)}(v)$ вещественные. С ростом параметра v достигается такое значение $v = v_*$, при котором происходит столкновение двух классических решений – устойчивой (x_+) и неустойчивой точек равновесия, причем частота малых колебаний ω вокруг точки x_0 обращается в нуль (что указывает на потерю устойчивости):

$$\omega = C(1 - v/v_*)^{1/2} + \dots, \quad v \rightarrow v_*, \quad (5)$$

$$C = [6(1 + xf''/(3f'))_{x=x_*}]^{1/2}. \quad (6)$$

Значения v_* и $x_* = x_0(v_*)$ определяются из уравнений

$$v = xf - x^2f' \quad f - xf' - x^2f'' = 0. \quad (7)$$

В вычислительном отношении полезно заметить, что

$$C = (-2x^2v''/v|_{x=x_*})^{1/2} = [\varphi'(x_*)]^{1/2}, \quad (6a)$$

где функция $v(x)$ задается первым из уравнений (7), $\varphi(x) = -2x^2v'/v$ и все величины берутся при $x = x_*$.

При $v > v_*$ точка равновесия выходит в комплексную плоскость и коэффициенты $\epsilon^{(k)}(v)$ также становятся комплексными. Такое решение, очевидно, не имеет физического смысла в классической механике, однако при переходе к квантовой механике именно оно позволяет вычислить (в рамках $1/n$ -разложения) не только положение E_+ , но и путь Гейт-Бигнеровских резонансов с энергией $E = E_+ - i\Gamma/2$.

Обсудим результаты расчетов. В табл. 1 приведены коэффициенты $1/n$ -разложения (взятые с обратным знаком) для задачи об эффекте Штарка в атоме водорода¹⁾. Для определенности мы выбрали состояния с $n_1=n_2=0$ и $m=n-1$, где n_1 , n_2 , m — параболические квантовые числа. Эта таблица иллюстрирует поведение коэффициентов $1/n$ -разложения, которое типично и для других квантовомеханических задач. При $F < F_* = -2^{12} \cdot 3^{-8} = 0,2081$ все коэффициенты $\epsilon^{(k)}$ вещественные; при $F > F_*$, т. е. после столкновения классических решений у них возникает мнимая часть. С ростом k эти коэффициенты сначала убывают (до $k=k_* \sim 3 \div 5$), а при $k > k_*$ начинается их рост. Такое поведение $\epsilon^{(k)}$ определяет преимущество $1/n$ -разложения (при численном счете) по сравнению, например, с рядами ТВ (2а), когда факториальный рост высших порядков E_k начинается, как правило, сразу с $k=1$.

На рис. 1 показана зависимость $|a|$ от отношения v/v_c для эффекта Штарка в водороде, его сферической модели и потенциала воронки. При $v \approx v_c$ параметр асимптотики $a \rightarrow \infty$, вследствие чего коэффициенты $\epsilon^{(k)}$ резко возрастают, а само разложение (1) теряет применимость (это было замечено уже в первых попытках суммирования $1/n$ -разложения [4, 5]: из рис. 1 становится ясной причина этого явления). Потенциал воронки (3) обладает только дискретным спектром (при $0 \leq g \leq \infty$), поэтому столкновения классических решений здесь не происходит. В соответствии с этим параметр a остается ограниченным при всех v , см. кривую β .

Аналогичные вычисления были проведены для потенциалов Юкавы ($f(x) = e^{-x}$ в (4)) и Хюльтена, $f(x) = x/(e^x - 1)$, см. рис. 2. Следует отметить, что в этих двух случаях асимптотика $\epsilon^{(k)}(v)$ содержит наряду с (2) также и осциллирующие члены, соответствующие особенностям в комплексной плоскости борелевской переменной z (см. А.3)). Эти члены весьма существенны при умеренно больших $k=20 \div 30$, что значительно усложняет численный расчет параметра a (детали вычислений обсуждаются в Приложении А).

3. Поведение параметра асимптотики $a=a(v)$ при малых v и при $v \rightarrow v_c$ можно установить аналитически. В первом случае²⁾

$$\epsilon^{(k)} = (-1)^k \frac{f_{k+1}}{2^{k+1}(k+1)} v^{k+1} + \dots, \quad (8)$$

где $k \geq 1$, а f_n — коэффициенты разложения функции окраинировки

$$f(x) = \sum_{k=0}^{\infty} \frac{(-1)^k}{k!} f_k x^k. \quad (4a)$$

Асимптотика коэффициентов $1/n$ -разложения определяется здесь ближайшей особенностью функции $f(x)$ на комплексной плоскости. Если эта особенность расположена на конечном расстоянии от нуля, равном b , то

$$|\epsilon^{(k)}| \approx k! (v/2b)^k, \quad k \rightarrow \infty. \quad (9)$$

Таким образом, даже при малых $v \ll v_c$ (когда потенциал (4) близок к кулоновскому, для которого ряд (1) обрывается на первом члене)

¹⁾ Данны лишь первые знаки коэффициентов $1/n$ -разложения, достаточные для того, чтобы судить об их поведении с ростом k . Вычисление $\epsilon^{(k)}$ проводилось с «четвертой» точностью, что необходимо для суммирования ряда (1) — см. ниже п. 5.

²⁾ Вывод этой формулы [26] использует разложение приведенной энергии v по степеням v . Для коэффициентов этого разложения были получены рекуррентные соотношения [24], которые в случае $v \rightarrow 0$ могут быть решены в ином виде. Отметим, что формула (8) относится к безузельным ($a=t+1$) состояниям.

Высшие порядки $1/n$ -разложения для эффекта Штарка

k	$\sim e^{(k)}$				$e^{(k)}$	
	$F=0,07$	0,10	0,15	0,18	0,25	0,50
0	1,0050	1,0103	1,0244	1,0368	$1,0858 + i \cdot 1,3918(-2)$	$1,2036 + i \cdot 0,1896$
1	$1,148(-2)$	$2,454(-2)$	$6,384(-2)$	$1,099(-1)$	$0,1567 + i \cdot 0,1935$	$7,110(-2) + i \cdot 0,3943$
2	$7,194(-3)$	$1,775(-2)$	$7,396(-2)$	$2,433(-1)$	$-0,1860 - i \cdot 0,2188$	$-2,249(-2) - i \cdot 5,259(-2)$
3	$1,266(-3)$	$7,762(-3)$	$1,387(-1)$	1,567	$-0,6532 + i \cdot 1,853$	$-5,665(-2) + i \cdot 4,565(-2)$
4	$9,072(-4)$	$9,647(-3)$	$5,707(-1)$	$2,061(1)$	$2,455(-1) - i \cdot 5,074$	$0,1437 + i \cdot 6,741(-2)$
5	$6,711(-4)$	$1,547(-2)$	3,3422	3,893(2)	$-3,133(2) - i \cdot 3,329(2)$	$3,387(-2) - i \cdot 0,4657$
6	$7,066(-4)$	$3,249(-2)$	$2,515(1)$	9,430(3)	$-2,740(3) + i \cdot 1,036(4)$	$-1,7374 + i \cdot 0,5207$
7	$8,673(-3)$	$8,230(-2)$	2,294(2)	2,767(5)	$2,897(5) - i \cdot 9,295(4)$	$5,2684 + i \cdot 6,7720$
8	$1,260(-3)$	$2,443(-1)$	2,452(3)	9,503(6)	$-7,832(6) - i \cdot 6,448(6)$	$2,448(1) - i \cdot 4,106(1)$
9	$2,085(-3)$	$8,301(-1)$	3,001(4)	3,737(8)	$-4,390(7) + i \cdot 3,856(8)$	$-3,023(2) - i \cdot 4,990(1)$
10	$3,887(-3)$	3,1761	4,138(5)	1,655(10)	$1,497(10) - i \cdot 7,504(9)$	$4,655(2) + i \cdot 2,170(3)$
15	0,3597	1,078(4)	8,572(11)	1,170(19)	$2,435(18) + i \cdot 1,027(19)$	$-9,420(7) - i \cdot 4,639(8)$
20	1,982(2)	2,193(8)	1,068(19)	4,975(28)	$-4,034(28) + i \cdot 4,669(26)$	$7,299(13) + i \cdot 6,618(13)$
25	2,165(3)	1,669(12)	4,987(26)	7,934(38)	$1,196(38) - i \cdot 5,680(38)$	$-1,765(20) - i \cdot 7,961(19)$
40	—		1,376(52)	8,719(71)	$-3,069(71) - i \cdot 3,571(71)$	$3,497(41) - i \cdot 1,975(41)$

Примечание. Таблица содержит коэффициенты $e^{(k)}$ для состояний $(0, 0, n+1)$ в атоме водорода, k — порядок $1/n$ -разложения, $F=n^{18}$, $n=m=e=1$ (единицей электрического поля является $E_{\text{ат}} = 5,142 \cdot 10^6 \text{ В/см}^3$). В скобках указан порядок числа: $(m) = 10^m$, например, $1,148(-2) = 0,01148$.

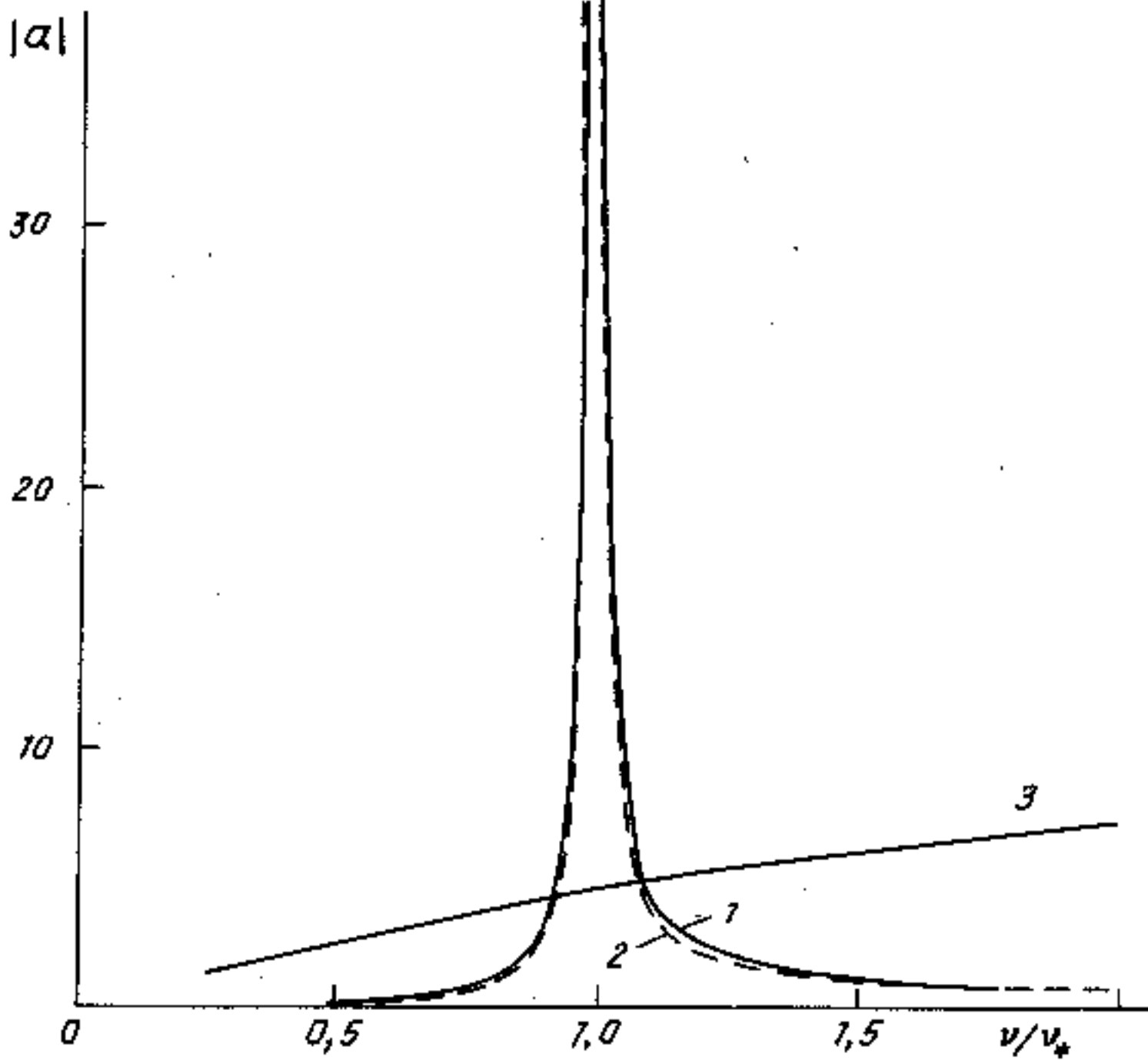


Рис. 1. Параметр асимптотики $a(v)$ в зависимости от v/v_* . Кривые 1, 2 и 3 относятся соответственно к эффекту Штарка, его сферической модели и потенциалу воронки (3). В последнем случае взято $v_* = 2 \cdot 3^{-3}$ и значения a умножены на 100

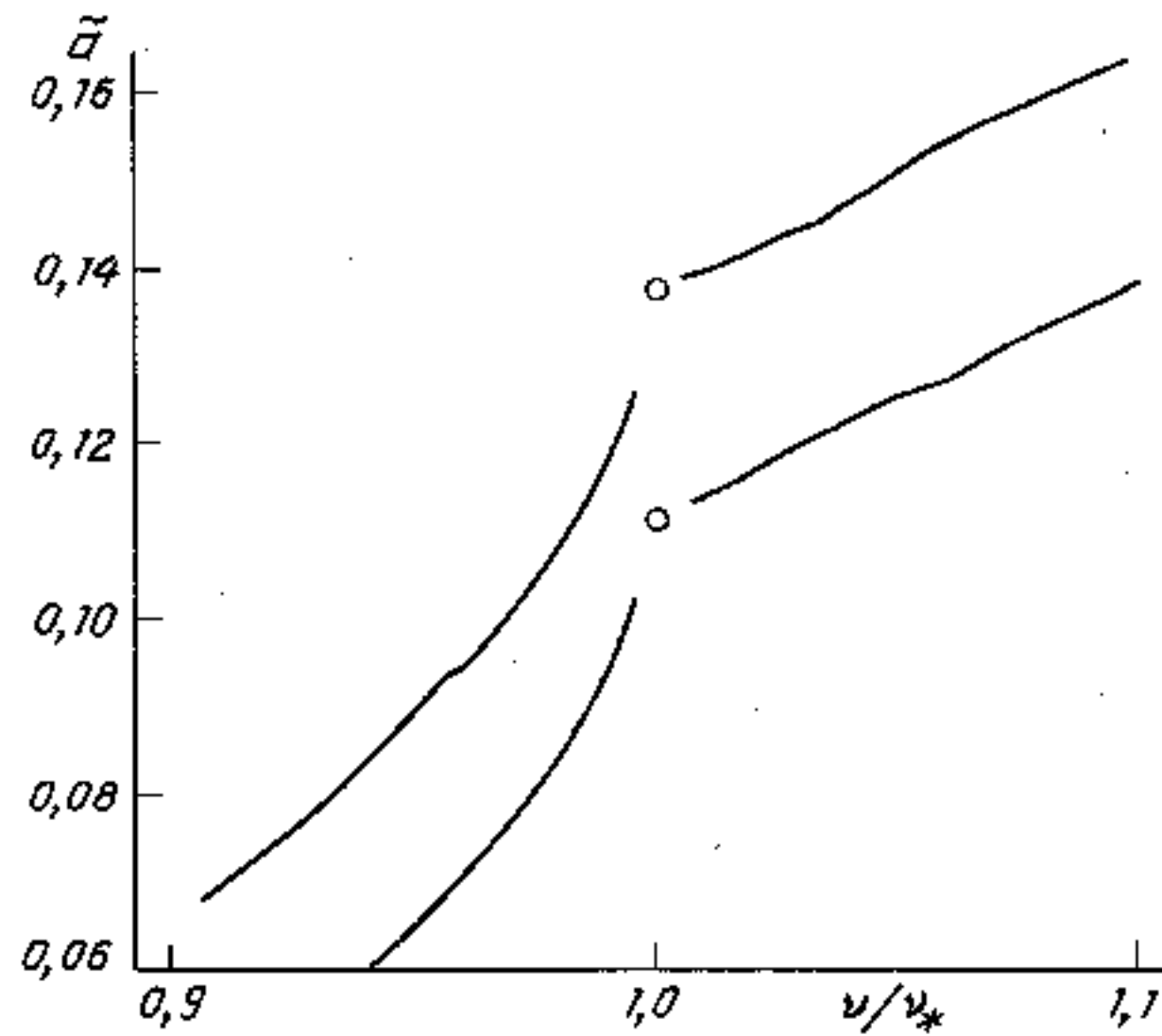


Рис. 2. Проверка соотношения (12) при v , близких к v_* . Верхняя кривая — для потенциала Хюльтена, нижняя — для потенциала Юкавы. По оси ординат отложены значения $\bar{a} = |(1-v/v_*)^{1/n} a(v)|$, причем параметр $a(v)$ определялся численно по высшим порядкам $1/n$ -разложения. Теоретические значения $\bar{a}(v_*) = A$ отмечены точками

коэффициенты $1/n$ -разложения возрастают факториально. Например, для потенциала Хюльтена имеем

$$f(x) = x/(e^x - 1),$$

$$f_0 = 1, \quad f_1 = 1/2, \quad f_k = B_k \quad (k \geq 2),$$

где B_k — числа Бернулли. Поэтому

$$\epsilon^{(k)} = (-1)^{(k+1)/2} k! \left(\frac{v}{4\pi} \right)^k \left[\frac{2v}{\pi} + O\left(\frac{1}{k}\right) \right] \quad (10)$$

(k — нечетное), что согласуется с формулой (9).

Во втором ($v \rightarrow v_*$) случае, переходя от $x = \mu r$ к ξ : $x = x_0(1 + n^{-1}\xi)$, и разлагая все величины в уравнении Шредингера по степеням ξ , приходим³⁾ к уравнению для ангармонического осциллятора, в котором нелинейность $\sim \xi^s$ входит с множителем $\sim n^{-(s-2)/2}$ ($s \geq 3$). Таким образом, при $n \rightarrow \infty$ возникает режим слабой связи. Используя известные результаты по асимптотике высших порядков ТВ для ангармонического осциллятора [16, 18], нетрудно убедиться, что соответствующий вклад в коэффициент $\epsilon^{(k)}$ порядка $(k-1)! \omega^{-(s+2)/(s-2)}$. При конечных $\omega > 0$ все эти вклады одного порядка. Однако если частота $\omega \rightarrow 0$ (т. е. $v \rightarrow v_*$, см. (5)), то доминирует вклад от наименьшего значения $s=3$. Учитывая результаты работы [18] для кубического осциллятора, получаем, что

$$\epsilon^{(k)}(v) \approx \text{const} \cdot k! a^k k^{-3}, \quad k \rightarrow \infty, \quad (11)$$

причем $a(v)$ имеет степенную особенность при $v=v_*$:

$$a \approx A (1 - v/v_*)^{-3/4}, \quad (12)$$

$$A = \frac{5}{96} C^3 = 0,1997 [1 + (xf'''/3f'')_{x=x_*}]^{3/4},$$

где C — тот же коэффициент, что и в (5). В табл. 2 приведены значения коэффициентов A и C , а также v_* и v_* для некоторых короткодействующих потенциалов (включая потенциалы Юкавы и Хюльтена, часто используемые в ядерной физике, и потенциал Гайтца, являющийся хорошей аппроксимацией для модели Томаса — Ферми в нейтральных атомах [27, 28]), а также для эффекта Штарка и его сферической модели (3). Величины v_* , A и C определены выше. Что касается v_* , то это значение параметра $v=n^2r$ отвечает $\epsilon^{(0)}=0$, т. е. моменту выхода уровней с $n \gg 1$, $t \sim 1$ в непрерывный спектр [4].

4. Параметры асимптотики $\epsilon^{(n)}$. Получим теперь формулы для произвольного потенциала, ограничиваясь для простоты безузельными состояниями с $t=n-1 \gg 1$. Квазиклассический импульс равен⁴⁾

$$p(r) = \frac{1}{n} [-\varphi(y, v)]^{\frac{1}{2}}, \quad \varphi = y^{-2} - 2y^{-1}f(vy) - \epsilon^{(0)}, \quad (13)$$

где $y=n^{-2}r$, $\epsilon^{(0)}(v)$ — классическая энергия, соответствующая частице, покидающей в точке $x_0=vy_*$. Ширина уровня равна (с экспоненциальной точностью)

$$\Gamma_n \approx \exp \left(-2 \int_{r_*}^{r_2} |p| dr \right) = \exp(-2nQ).$$

³⁾ Переменная ξ в отличие от r и x остается порядка единицы при $n \rightarrow \infty$.

⁴⁾ Здесь мы считаем, что потенциал имеет вид (4). В такой форме можно записать произвольный сферически-симметричный потенциал, если не вкладывать ограничений на поведение функции экранировки $f(x)$ в вузле и на бесконечности.

N	$f(x)$	v_{cr}	v_*	C	A	Примечания
1	e^{-x}	0,73576	0,83996	1,289	0,1116	Потенциал Юкавы
2	$x(e^x - 1)^{-1}$	1,29522	1,52344	1,381	0,1371	Потенциал Хюлтена
3	$\exp(-x^2/2)$	1,21306	1,58650	1,682	0,2478	—
4	$(1+x)^{-2}$	0,5	0,52815	1,033	0,0574	Потенциал Тайтца
5	xe^{-x}	1,08268	1,34425	1,565	0,1997	—
6	$x \exp(-x^2)$	0,73576	1,08268	2,000	0,4167	Гауссian
7	$1+x^2$	~	0,38490	1,565	0,1997	Сферическая модель
8	—	—	0,45618	0,8660	0,2406	Эффект Штарка

Примечание. A и C — коэффициенты в формулах (12) и (5).

Это задает поведение скачки энергии при $\lambda=1/n\rightarrow 0$, соответствующее функции $\varepsilon=\sum_k \varepsilon^{(k)} \lambda^k$ с факториально растущими коэффициентами. Асимптотика $\varepsilon^{(k)}$ при $k\rightarrow\infty$ определяется из дисперсионного соотношения по переменной λ :

$$\varepsilon^{(n)}(v) = \frac{1}{\pi} \int_0^\infty \frac{d\lambda}{\lambda^{n+1}} \varepsilon''(\lambda, v) = \frac{1}{\pi} \int_0^\infty \frac{d\lambda}{\lambda^{n+3}} \Gamma_n(v). \quad (14)$$

Здесь мы рассматриваем λ как непрерывную переменную (что естественно при $n\gg 1$) и предполагаем аналитичность энергии по λ , после чего дисперсионное соотношение выводится стандартным образом (см., например, работу [17], посвященную асимптотике высших порядков теории возмущений для ангармонического $(gx^4/4)$ осциллятора).

Из (14) вытекает связь между асимптотикой коэффициентов $1/n$ -разложения и шириной высоковоизбужденных уровней:

$$\varepsilon^{(n)} \approx k! a^k k^{n+1} (c_0 + c_1/k + \dots), \quad k \rightarrow \infty, \quad (15)$$

$$\Gamma_n \approx \pi c_0 a^{-(n+2)} n^n \exp(-n/a), \quad n \rightarrow \infty,$$

причем

$$a^{-1} = 2^{1/2} \int_{r_0}^{r_2} |U(r) - U(r_0)|^{1/2} dr = 2Q(v), \quad (16)$$

$$Q(v) = \int_{y_0}^{y_2} |\varphi(y, v)|^2 dy, \quad (16a)$$

где y_0, y_2 — точки поворота (см. рис. 3). Эта формула определяет параметр $a(v)$ при $v < v_*$ и может быть аналитически продолжена на область $v > v_*$. Остальные параметры асимптотики (σ, c_0, \dots) легко находятся с помощью (14), если известна предэкспонента в формуле для Γ_n . В случае эффекта Штарка и сферической модели (3) функция $Q(v)$ вычисляется аналитически — см. Приложение В.

Рассмотрим теперь v , близкие к v_* . Учитывая, что при $y \rightarrow y_0$ функция $\varphi = \omega^2 y_0^{-1} (y - y_0)^2 + \dots$ (ω — безразмерная частота колебаний), получаем

$$\psi(y, v) \approx \frac{\omega^2}{y_0^4 (y_2 - y_0)} (y - y_0)^2 (y_2 - y), \quad y_0 < y < y_2, \quad (17)$$

причем

$$y_{0,1} = y_0 [1 \pm h (1 - v/v_*)^{1/2} + \dots],$$

$$y_2 = y_0 [1 \mp 2h (1 - v/v_*)^{1/2} + \dots]. \quad (18)$$

$$h = [\frac{1}{2} f_0 (1 - v/f_0)^{1/2} / 3f_0^{1/2}]_{v=v_*} [1 - v/v_*]$$

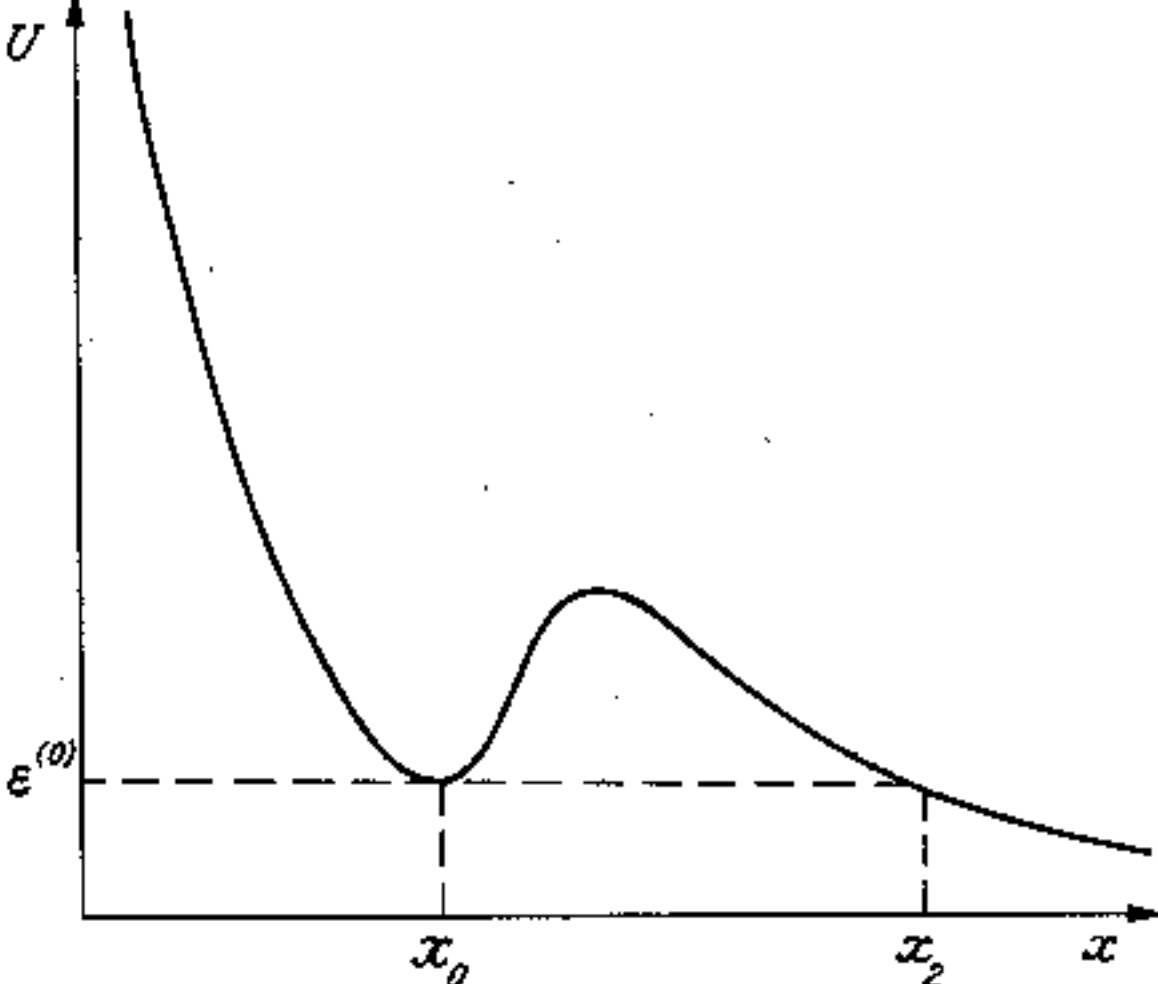


Рис. 3. Эффективный потенциал U (качественный вид)

$(x=\mu r=vy)$. Подставляя (17) в (16) и вычисляя интеграл, находим

$$Q(v) = \frac{1}{16\pi} \omega (y_2/y_0 - 1)^2, \quad (19)$$

откуда с учетом (18) и (5) следует формула (12).

Таким образом, в точке столкновения классических решений параметр $a(v)$ имеет степенную особенность, показатель которой не зависит от формы потенциала $V(r)$. Как показывают численные расчеты (см. Приложение С), он сохраняет то же значение $-5/4$, и для двумерной (переменные $\xi=r+z$ и $\eta=r-z$ — параболические координаты) задачи об эффекте Штарка в атоме водорода.

5. О суммировании $1/n$ -разложения. Итак, для задач квантовой механики асимптотика высших порядков $1/n$ -разложения, является, как правило, факториальной⁵⁾. Это объясняет, почему в некоторых случаях (например, эффект Штарка [5, 6]) для получения энергии с точностью, нужной для эксперимента, необходимо вычислять несколько десятков коэффициентов $e^{(k)}$ и суммировать ряд (1). В настоящее время эта процедура разработана достаточно хорошо и не встречает принципиальных затруднений.

В заключение остановимся на вопросе о суммировании $1/n$ -разложения в интервале $v_{cr} < v < v_*$. Нетривиальность этой задачи видна из того, что все коэффициенты $e^{(k)}(v)$ здесь вещественные, в то время как сумма ряда (1) является уже комплексной (поскольку уровень вышел в непрерывный спектр, превратившись в брейт-вигнеровский резонанс). Для суммирования ряда (1) использовался метод аппроксимант Паде — Эрмита (АПЭ), краткое описание которого содержится в [6, 8]. Мы ограничились квадратичными АПЭ $[L, M, N](\lambda) = F(\lambda)$, где $\lambda = 1/n$ — параметр разложения, $F(\lambda)$ определяется из уравнения $P_L - Q_M F + R_N F^2 = 0$,

$$F(\lambda) = \frac{1}{2R_N} [Q_M \pm (Q_M^2 - 4P_L R_N)^{1/2}], \quad (20)$$

⁵⁾ В силу этого ряды (1) расходятся, и для вычисления энергии ε с высокой точностью необходимо использовать методы суммирования расходящихся рядов, такие как метод аппроксимант Паде (АП) и т. д. Практически важно, что во многих случаях (например, для потенциала воронки [4, 12]) уже два-три члена $1/n$ -разложения дают энергию и волновые функции с вполне приемлемой для физики точностью.

где $P_L(\lambda)$, $Q_M(\lambda)$ и $R_N(\lambda)$ — полиномы степени L , M и N соответственно, коэффициенты которых находятся из соотношения

$$P_L(\lambda) - Q_M(\lambda)\varepsilon + R_N(\lambda)\varepsilon^2 = O(\lambda^{L+M+N+2}), \quad \lambda \rightarrow 0 \quad (21)$$

а $\varepsilon(\lambda)$ — формальный степенной ряд (1). При подстановке его в (21) получаем систему линейных уравнений для коэффициентов указанных выше полиномов, численное решение которой на ЭВМ не представляет трудностей.

Легко понять, что из вещественности коэффициентов $\varepsilon^{(k)}$ при всех $k=0, 1, 2, \dots$ вытекает то, что и полиномы P_L , Q_M и R_N также имеют только вещественные коэффициенты. Из (20) видно, что АПЭ (в отличие, например, от обычных АП $[L/M](\lambda)$) могут иметь мнимую часть также и в этом случае, поэтому суммирование $1/n$ -разложения с помощью АПЭ является адекватным вычислительным методом для квазистационарных состояний.

Данный метод был применен к двум задачам: потенциальну Юкавы и эффекту Штарка. В первом случае вычисленные значения E_r и Γ сравнивались с работой [25], во втором — с результатами суммирования рядов теории возмущений по степеням электрического поля \mathcal{E} [6]. При этом наблюдается хорошее согласие между результатами, полученными независимыми методами расчета энергии квазистационарных состояний.

Рассмотрим в качестве иллюстрации эффект Штарка в атоме водорода для состояний $(0, 0, n-1)$. В табл. 1 приведены коэффициенты $1/n$ -разложения в интересующей нас области $F < F_* = 0,2081$, т. е. до столкновения классических точек равновесия ($F = n^4 \mathcal{E}$). Из таблицы виден быстрый рост $\varepsilon^{(k)}$ при $k \geq 10$, который становится особенно заметным, когда $F \rightarrow F_*$. Результаты суммирования ряда (1) при $n=3, 10$ и 20 даны в табл. 3, где приведены значения штарковского сдвига $\Delta\varepsilon_n$ и ширины уровня:

$$E^{(0,0,n-1)} = -\frac{1}{2n^2} (1 + \Delta\varepsilon_n + i\varepsilon_n'') \quad (22)$$

(эти значения обозначены в табл. 3 как $1/n$). Как правило, мы использовали диагональные АПЭ (т. е. $L=M=N$ в уравнениях (21)), причем $N \sim 15$. Таким образом, в расчет вводилось $30 \div 40$ порядков $1/n$ -разложения, что обеспечивает точность расчета энергии порядка $10^{-4} \div 10^{-5}$ (в табл. 3 приведены только установившиеся цифры последовательности АПЭ). Точность $1/n$ -разложения уменьшается при $F \approx F_*$, что понятно в свете результатов, полученных выше. Как видно из табл. 3, значения E_r и Γ , полученные при суммировании $1/n$ -разложения, полностью согласуются с результатами независимых расчетов [6]. Аналогичные результаты были получены и для других состояний.

При $v > v_*$ коэффициенты $1/n$ -разложения становятся комплексными и вычисление ширины уровня Γ упрощается. Для этого вместо (20) достаточно использовать, например, частичные суммы ряда (1):

$$s_k = \sum_{j=0}^k \varepsilon^{(j)} n^{-j}, \quad (23)$$

причем можно ограничиться меньшим числом коэффициентов $\varepsilon^{(j)}$. Так были получены значения $\Delta\varepsilon_n$ и ε_n'' из табл. 3, относящиеся к области $F > F_*$. Ранее [3—5, 7] частичные суммы (23) применялись и в других задачах квантовой механики.

Точность $1/n$ -разложения возрастает при увеличении главного квантового числа n , поэтому данный метод является наиболее подходящим для ридберговских ($n \gg 1$) состояний.

Таблица 3

Штарковский сдвиг и ширина состояний $(0,0, n-1)$ в сильном электрическом поле

ψ	Δe_n	e_n^*	Метод расчета	F	Δe_n	e_n^{**}	Метод расчета
$n=3$							
0.07	9.663(-3)	1.2(-7)	1/n	0.20	9.2(-2)	-	1/n
	9.6627(-3)	1.186(-7)	TB		9.157(-2)	3.469(-2)	TB
0.10	2.1020(-2)	1.231(-4)	1/n, TB	0.25	0.1244	7.283(-2)	1/n, TB
0.15	5.394(-2)	8.145(-3)	*	0.30	0.1519	0.1170	*
0.18	7.691(-2)	2.223(-2)	*	0.40	0.1941	0.2143	1/n
0.19	8.437(-2)	2.817(-2)	1/n		0.1942	0.2144	TB
	8.434(-2)	2.820(-2)	TB	0.50	0.2239	0.3169	1/n
					0.224	0.317	TB
$n=10$							
0.10	1.2966(-2)	-	1/n, TB		1.15982(-2)	-	1/n, TB
0.15	3.1755(-2)	7.379(-5)	*		2.77719(-2)	1.1(-7)	*
0.18	5.0356(-2)	2.5162(-3)	*		4.32324(-2)	2.969(-4)	*
0.20	(6.4866(-2))	7.877(-3)	1/n		(5.7258(-2))	2.971(-3)	1/n
	(6.4881(-2))	7.870(-3)	TB		(5.7258(-2))	2.970(-3)	TB
0.25	9.9766(-2)	3.2154(-2)	1/n, TB		9.3186(-2)	2.3222(-2)	1/n, TB
0.30	0.12967	6.5272(-2)	*		0.12399	5.3783(-2)	*
0.40	0.17637	0.14340	*		0.17199	0.12775	*
0.50	0.21044	0.22859	*		0.20709	0.20923	*
$n=20$							

Примечание. Величины Δe_n и e_n^* определены в (22); используются атомные единицы.

6. 1/n-разложение и задача двух центров. Нерелятивистская задача двух кулоновских центров,

$$V(\mathbf{r}) = -\frac{Z_1}{r_1} - \frac{Z_2}{r_2}, \quad r_{1,2} = \left[\rho^2 + \left(z \pm \frac{R}{2} \right)^2 \right]^{\frac{1}{2}}, \quad (24)$$

встречается в различных областях физики [29]; применению к ней 1/n-разложения посвящены работы [12, 30, 31]. В этом случае коэффициенты $\varepsilon^{(n)}$ ряда (1) зависят от межъядерного расстояния R . Первый член ряда $\varepsilon^{(0)}(R)$ соответствует энергии частицы на классической орбите, которая определяется из условия равновесия сил, действующих на электрон в его системе покоя. Мы ограничимся симметричным случаем: $Z_1=Z_2=1$, что отвечает молекулярному иону водорода H_2^+ . Для состояний с $m=n-1$, $n \rightarrow \infty$ уравнения можно записать в параметрической форме:

$$\begin{aligned} \varepsilon^{(0)} &= -2(1-\tau)^2(1+\tau), \\ \varepsilon^{(1)} &= 2(1-\tau)^3[(1+3\tau)^{\frac{1}{2}} + (1-3\tau)^{\frac{1}{2}} - 2], \\ \omega_{1,2} &= 4(1-\tau)^{\frac{3}{2}}(1 \pm 3\tau)^{\frac{1}{2}}, \quad R = \tau^{\frac{1}{2}}(1-\tau)^{-\frac{1}{2}}, \end{aligned} \quad (25)$$

где $0 < \tau < 1/3$, $\varepsilon = n^2 E$, $R = n^{-2} R$ и $E(R)$ — энергия терма. Эти уравнения задают зависимость коэффициентов 1/n-разложения от R и легко следуют из формул работы [30]. При этом $\omega_{1,2}$ — частоты нормальных колебаний электрона вокруг точки равновесия в эффективном потенциале $U(\rho, z)$, $\rho = (x^2 + y^2)^{\frac{1}{2}}$, а переменная τ имеет простой геометрический смысл: $\tau = \cos^2 \alpha$, где α — угол при вершине Z в треугольнике (Z, Z, ε) .

Для первых трех порядков 1/n-разложения получены явные формулы [30]; последующие коэффициенты удобнее находить с помощью рекуррентных соотношений. Соответствующий алгоритм, реализованный на ЭВМ, позволил эффективно вычислить десятки коэффициентов $\varepsilon^{(n)}(R)$.

в задаче двух центров. Численный анализ показывает, что они обладают факториальным ростом при $k \rightarrow \infty$, причем параметр асимптотики $a(R)$ резко возрастает при $\tilde{R} \rightarrow R_* \approx 1,3$ (см. рис. 8 в [30]). Далее мы приведем некоторые аналитические результаты.

С помощью вычислений, аналогичных изложенным выше (см. п. 4), находим

$$a(R) = -\frac{1}{2}(\operatorname{arth} \xi - \xi)^{-2}, \quad (26)$$

$$\xi = (1 + \frac{1}{2}R^2 e^{i\theta})^{-1/2} = (1 - 3\tau)^{1/2} (1 - \tau)^{-1}.$$

Частота $\omega_2 \propto f^k \rightarrow 0$ при $\tau \rightarrow 1/3$, и соответствующая классическая орбита теряет устойчивость. Это происходит при $\tilde{R} = R_* = 3^{1/2} \cdot 2^{-2} = 1,299$. Приведем разложения при $\tilde{R} \rightarrow R_*$:

$$\tau = \frac{1}{3} + \frac{2}{27}f + \frac{1}{9}f^2 + \dots, \quad \xi = (\frac{3}{2}f)^{1/2}(1 - \frac{1}{18}f + \dots),$$

$$e^{i\theta} = e_* (1 + \frac{1}{2}f + \frac{1}{4}f^2 + \dots),$$

$$e^{i\phi} = e_* (1 - 2^{-1} - (f/6)^{1/2} + \dots),$$

где $e_* = -3^2/27$, $f = 1 - \tilde{R}/R_* \rightarrow 0$, а при $R \rightarrow 0$:

$$\tau = t - 4t^2 + \dots, \quad \xi = 1 - \frac{1}{2}t + \frac{3}{8}t^2 + \dots,$$

$$e^{i\theta} = 2(-1 + t - 3t^2 + 13t^3 + \dots),$$

$$e^{i\phi} = \frac{9}{2}j_2(-t^2 + 11t^3 + \dots), \quad t = \tilde{R}^2 = R^2/n^4,$$

откуда имеем

$$a(R) = \begin{cases} -\frac{1}{2}\left[\ln(n^2/R) - (1 - \ln 2)\right]^{-1}, & R \rightarrow 0, \\ -\left(\frac{2}{3}\right)^{1/2}f^{-3/2}(1 - \frac{13}{27}f + \dots), & R \rightarrow n^2 R_*. \end{cases} \quad (27)$$

Таким образом, $a(R) < 0$ при $0 < R < n^2 R_*$. Это находится в соответствии с численными расчетами [30], которые показывают, что в этой области значений R ряд (1) является знакопеременным и может быть просуммирован с помощью АП. Сходимость АП ухудшается, когда R приближается к $n^2 R_*$, поскольку при этом $a(R) \rightarrow \infty$ и коэффициенты $e^{ik}(R)$ резко возрастают.

Более подробный анализ показывает [30], что при $\tilde{R} = R_*$ происходит слияние трех классических траекторий, одна из которых (S_0 , к которой и относятся приведенные выше уравнения) устойчива, а две другие (S_1 , S_2) являются комплексными. При $\tilde{R} > R_*$ орбита S_0 теряет устойчивость ($\omega_2^2 < 0$), а S_1 и S_2 становятся вещественными и определяют коэффициенты $1/n$ -разложения (при $R \gg 1$ каждая из них соответствует локализации электрона вблизи одного из ядер, Z_1 или Z_2). Для $e^{i\theta}(R)$, $a(R)$ и т. д. в этом случае можно получить формулы, аналогичные (25), (26). В частности,

$$a(R) = -\frac{1}{4}[\xi(1 - \xi^2)^{-1} - \operatorname{arth} \xi] \quad (28)$$

причем переменная ξ связана теперь с R с помощью уравнений

$$\xi = \left(\frac{3\tau - 1}{3\tau + 1}\right)^{1/2}, \quad R = \frac{R_*}{n^2} = \frac{8\tau^{3/2}}{(1 - \tau)(\tau + 1)^2}, \quad (29)$$

где $1/3 \leq \tau \leq 1$ (заметим, что $\tilde{R} = R_*$ при $\tau = 1/3$, а $\tau \rightarrow 1$ отвечает $R \rightarrow \infty$). Выход формул (26), (28) проводится на основе уравнения (16), с учетом разделения переменных в эллиптических координатах $\xi = (r_1 + r_2)/R$, $\eta = (r_1 - r_2)/R$ для задачи двух центров.

Из (28) видно, что $a(R) > 0$, если $R > R_*$. Это полностью согласуется с численным расчетом [30] высших порядков $1/n$ -разложения, согласно которому при $R > R_*$ коэффициенты $\epsilon^{(k)} < 0$ и ряд (1) становится знакопостоянным.

7. В заключение кратко сформулируем основные результаты настоящей работы. Ими можно считать формулы (11) и (16) для асимптотики высших порядков $1/n$ -разложения, а также определение характера степенной особенности (12) вблизи точки столкновения классических решений, $v = v_*$. Эти результаты справедливы для произвольного потенциала $V(r)$ и согласуются с численными расчетами коэффициентов $\epsilon^{(k)}$.

Были также рассмотрены задачи без сферической симметрии: эффект Штарка в водороде и задача двух кулоновских центров. При некотором значении параметра ($F = n^4 \mathcal{E} = F_*$, или $R = n^2 R_*$) происходит столкновение (слияние) классических орбит — устойчивой и неустойчивой; при этом в первом случае сливаются две орбиты, во втором — три. Соответственно различаются и показатели степенной особенности у параметра a ($-5/4$ и $-3/2$, см. формулы (12) и (27), а также Приложение С). Для параметра асимптотики a получены явные аналитические формулы как в случае потенциала воронки (3а) с $N=1$ и 2, так и в задаче двух центров.

Авторы хотели бы выразить искреннюю благодарность В. Д. Муру за детальное обсуждение полученных результатов и ряд полезных замечаний.

ПРИЛОЖЕНИЕ А

Для потенциалов Юкавы и Хюльтена асимптотика высших порядков $1/n$ -разложения имеет более сложный вид, чем (2):

$$\begin{aligned} \epsilon^{(k)}(v) \approx & k! \{ a^k k^\beta c_0 [1 + O(1/k)] + \\ & + \operatorname{Re}(A^k k^\beta C) [1 + O(1/k)] \} = k! \{ a^k k^\beta c_0 + \\ & + a_i k^\beta c_i \cos(k\theta + \varphi) + \dots \}, \quad k \rightarrow \infty, \end{aligned} \quad (\text{A.1})$$

где $a(v) > 0$ при $v_{cr} < v < v_*$, а параметры A и C — комплексные:

$$A = a_i e^{i\theta}, \quad C = c_i e^{i\varphi}.$$

Численный расчет этих параметров по известным коэффициентам $\epsilon^{(k)}$ можно провести с помощью преобразования Бореля:

$$B(z) = \sum_{k=0}^{\infty} \frac{\epsilon^{(k)}}{k!} z^k. \quad (\text{A.2})$$

Трансформанта Бореля $B(z)$ имеет ближайшую к нулю особенность при $z = z_0 = a^{-1}$, характер которой определяется параметром β в (A.1):

$$B(z) \propto (z - z_0)^{-(\beta+1)} \quad (\text{A.3})$$

(второму члену асимптотики (A.1) соответствуют комплексно-сопряженные особенности трансформанты Бореля, расположенные в точках $z = 1/A$ и $1/A^*$). Для определения параметров a и β использовались интегральные аппроксиманты [32], определяемые из уравнения (ср. с (20))

$$P_L(z) + Q_L(z)f(z) + R_L(z) \frac{df}{dz} = 0, \quad (\text{A.4})$$

откуда

$$f(z) = \exp \left(- \int_0^z \frac{Q_L(t)}{R_L(t)} dt \right) \left\{ f(0) - \int_0^z dt \frac{P_L(t)}{R_L(t)} \exp \left(\int_0^t \frac{Q_L(t')}{R_L(t')} dt' \right) \right\}. \quad (\text{A.5})$$

где P_L , Q_L и R_L – полиномы степени L . Из (A.5) следует, что если $Q_L(z)/R_L(z)=\rho(z-z_0)^{-1}+\dots$ при $z \rightarrow z_0$, то $f(z)$ имеет степенную особенность: $f(z) \sim (z^0 - z_0)^{-\rho}$. В соответствии с этим $z_0=1/a$ определяется как наименьший по абсолютной величине нуль полинома $R_L(z)$, а показатель $\beta=\rho-1$, где $\rho=\text{Res } Q_L(z)/R_L(z)|_{z=z_0}$. Этим методом для потенциала Юкавы было получено $\beta=-1,50 \pm 0,01$ (при $v > v_{cr}$), что согласуется с формулой (11).

Из-за присутствия второго слагаемого в асимптотике (A.1) у коэффициентов $e^{(k)}$ могут возникать осцилляции с ростом k , т. е. ряд (1) не является знакостоянным⁶⁾. При $v > v_{cr}$ в (A.1) начинает доминировать первый член и коэффициенты $e^{(k)}(v)$ с $k \gg 1$ становятся положительными. Функция с такими коэффициентами имеет отличную от нуля минимую часть, что легко понять на простейшем примере (ряд Эйлера [33]):

$$F(z) = \sum_{k=0}^{\infty} k! z^k = -z^{-1} e^{-1/z} \Gamma(0, -1/z), \quad (\text{A.6})$$

$$\operatorname{Im} F(x) = \pi x^{-1} e^{-1/x}, \quad 0 < x < \infty, \quad (\text{A.7})$$

где $\Gamma(0, t)$ – неполная гамма-функция.

Как показано в п. 5, суммирование $1/n$ -разложения позволяет восстановить минимую часть энергии уровня Γ , начиная уже с $v=v_{cr}$ (хотя в интервале $v_{cr} < v < v_*$ все коэффициенты разложения (1) являются вещественными). С другой стороны, при $v > v_*$ коэффициенты $e^{(k)}(v)$ становятся комплексными; в этом случае для вычисления ширины Γ достаточно использовать простейший метод суммирования, например частичные суммы $1/n$ -разложения (23).

ПРИЛОЖЕНИЕ В

Рассмотрим потенциал (3а) при $g < 0$, когда в нем имеется барьер ($N > 0$). В этом случае $\mu = (-g)^{1/(N+1)}$, $f(x) = 1 + N^{-1}x^{N+1}$.

$$v = x_0 - x_0^{N+2}, \quad (\text{B.1})$$

$$e^{(0)} = -(1-\xi) \left(1 + \frac{N+2}{N} \xi \right), \quad \omega = \left[\frac{1-(N+2)\xi}{1-\xi} \right]^{-\frac{1}{N}}, \quad (\text{B.2})$$

где $\xi = x_0^{N+1}$. Отсюда

$$x_* = (N+2)^{-1/(N+1)}, \quad v_* = (N+1)(N+2)^{-(N+2)/(N+1)}, \\ C = [2(N+2)]^{\frac{1}{N}}, \quad A = \frac{5}{3} \cdot 2^{-1/(N+1)}(N+2)^{\frac{1}{N}}. \quad (\text{B.3})$$

Энергия $e^{(0)}(v)$ монотонно понижается с ростом $v=n^2\mu$ и в точке столкновения решений ($v=v_*$) достигает значения $e_* = -[1+(N^2+2N)^{-1}]$. Из (B.2) находим

$$e^{(0)} = e_* \left(1 - \frac{2}{N+2} \omega^2 \right) \left(1 - \frac{\omega^2}{N+2} \right)^{-\frac{1}{N}}. \quad (\text{B.4})$$

Случай $N=1$ соответствует «сферической модели» для эффекта Штарка в водороде. Отметим, что константы C и A в этом случае имеют те же значения, что и для экспоненциального потенциала (но значения v_* для них различаются – см. табл. 2).

⁶⁾ Так, при $v \approx 0,532 < v_{cr}$ (потенциал Юкавы) имеем $\theta = \pi/2$ и $|a| \ll a_1$, поэтому период чередования знаков в последовательности $e^{(k)}$ равен двум (что подтверждается при численном счете этих коэффициентов).

Функция Φ в (16) равна

$$\Phi(y, v) = y^{-2} - 2y^{-1} - 2N^{(1)}v^{N+1}y^N - e^{(0)}(v). \quad (\text{B.5})$$

Поскольку классическая энергия $e^{(0)}$ отвечает минимуму эффективного потенциала, то $\Phi(y, v)$ имеет кратный корень $y=y_0$ ($y_0 < y < y_2$ — подбарьерная область, в которой $\Phi > 0$, см. рис. 3). В силу этого интеграл в (16), являющийся при $N=1$ и 2, вообще говоря, эллиптическим интегралом, может быть выражен через элементарные функции. Опуская детали вычислений, приведем окончательные формулы.

а) $N=1$ (сферическая модель):

$$a^{-1} = 4 \left[z + \frac{z^3}{3(1-z^2)} - \operatorname{arth} z \right] = \\ = \begin{cases} \frac{3}{15}z^5(1+\frac{1}{3}z^2+\dots), & z \rightarrow 0, \\ \frac{2}{3(1-z)} + 2\ln(1-z) + \left(\frac{7}{3} - 2\ln 2\right) + \dots, & z \rightarrow 1, \end{cases} \quad (\text{B.6})$$

где $z = [(1-3x_0^2)/(1-x_0^2)]^{1/2} = \omega$. При выводе этой формулы использовалось соотношение

$$e^{(0)} = -\frac{1}{3}(1-\frac{1}{z}z^2)(1-\frac{1}{z}z^2)^{-2}$$

(см. (B.4) при $N=1$). Зависимость z от v может быть найдена также непосредственно из уравнения

$$(1-z^2)(1-\frac{1}{z}z^2)^{-3} = (v/v_s)^2, \quad (\text{B.7})$$

из которого имеем

$$z(v) = \begin{cases} 1-v^2 - \frac{7}{2}v^4 + \dots, & v \rightarrow 0, \\ [6(1-v/v_s)]^{1/2}, & v \rightarrow v_s = 2 \cdot 3^{-1}. \end{cases}$$

Отсюда следует, что

$$a = \frac{3}{2}v^2 [1-3v^2 \ln(v^2/2) + O(v^4 \ln v)], \quad v \rightarrow 0, \quad (\text{B.8})$$

а при $v \rightarrow v_s$ приходим к формуле (12) с коэффициентом $A = 5 \cdot 3^{-5} \cdot 2^{-9/4} = 0,19967$.

б) В случае $N=2$ получаем

$$a^{-1} = 2 \left[3^{\frac{1}{2}}(1-\frac{1}{z}z^2)(1-z^2)^{-1/2} \operatorname{arctg} \frac{3^{\frac{1}{2}}z}{2(1-z^2)^{\frac{1}{2}}} - \operatorname{arth} \frac{3z}{z^2+2} \right], \quad (\text{B.9})$$

где $z = [(1-4x_0^3)/(1-x_0^3)]^{1/2}$, а $x_0(v)$ определяется из уравнения (B.1). Заметим, что переменная z снова совпадает с частотой классических колебаний ω . При этом

$$a(v) = \frac{2}{\pi} \left(v^{\frac{5}{2}} - \frac{6}{\pi} v^3 \ln v + \dots \right), \quad v \rightarrow 0 \quad (\text{B.10})$$

и $|a(\infty)| = 1/2\pi$, а при $v \rightarrow v_s = 0,4725$ справедлива формула (12) с константой $A = 0,2476$.

в) Формулы для потенциала воронки (3) получаются из предыдущих при замене $g \rightarrow -g$. При этом

$$v = x_0 + x_0^3, \quad \omega = [(1+3x_0^2)/(1+x_0^2)]^{1/2}. \quad (\text{B.11})$$

Поэтому $z > 1$ и $\operatorname{arth} z = \operatorname{arth}(1/z) \pm i\pi/2$, в силу чего параметр асимптотики a становится комплексным (как уже говорилось выше, это отвечает осцилляциям коэффициентов 1/ n -разложения). В частности, при $g \rightarrow \infty$ име-

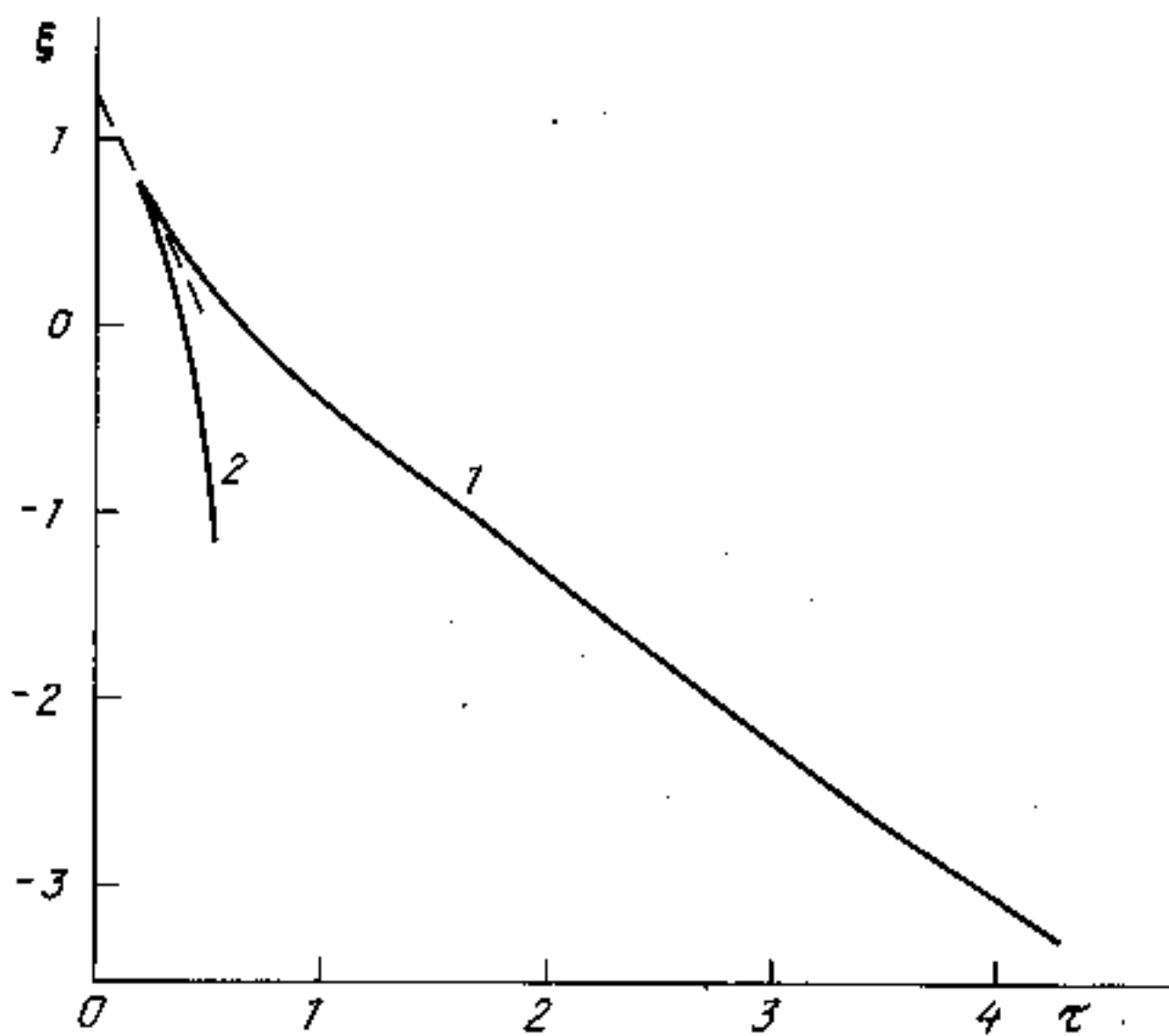


Рис. 4. Численное определение показателя особенности β в случае эффекта Штарка: 1 — $F < F_*$; 2 — $F > F_*$; штриховая прямая — экстраполяция к $\tau = 0$

ем $z \rightarrow 3^{\pm}$ и

$$a = 1/2 [3^{\pm} - \ln(2+3^{\pm}) \pm i\pi]^{-1}, \quad (\text{B.12})$$

$|a(\infty)| = 0,1578$.

То же предельное значение $a(\infty)$ получается и для сферической модели, в чем нетрудно убедиться с помощью формулы (B.6).

ПРИЛОЖЕНИЕ С

Численная проверка формулы (12)

Этот вопрос мы изложим на примере задачи об эффекте Штарка. Представим параметр асимптотики a в виде

$$a(F) = (F_* - F)^{-\beta} [b_0 + b_1(F_* - F)^\beta + \dots] \quad (\text{C.1})$$

($\beta, \beta' > 0$). Удобно ввести переменные ξ, τ :

$$\xi = -\frac{\ln |a(F)|}{\ln |F - F_*|}, \quad \tau = -\frac{1}{\ln |F - F_*|}, \quad (\text{C.2})$$

тогда при $F \rightarrow F_*$ имеем

$$\xi(\tau) = \beta + (\ln |b_0|) \tau + O(\tau \exp(-\beta'/\tau)). \quad (\text{C.3})$$

Следовательно, показатель β определяется экстраполяцией $\xi(\tau)$ к точке $\tau = 0$. На рис. 4 изображено поведение $\xi(\tau)$ вплоть до $\tau = 0,2$ (или $|F - F_*| \approx 0,01$); видно, что оно согласуется со значением $\beta = 1,25$, следующим из (12). Тем самым численно показано, что характер особенности $a(F)$ для задачи об эффекте Штарка тот же, что и в случае потенциалов со сферической симметрией.

Список литературы

1. Yaffe L. G. // Phys. Today. 1983. V. 36(8). P. 50.
2. Chatterjee A. // Phys. Rep. 1990. V. 186. P. 249.
3. Bender C. M., Mlodinow L. D., Papadionau N. // Phys. Rev. A. 1982. V. 25. P. 1305.

4. Попов В. С., Вайнберг В. М., Мур В. Д. // Письма в ЖЭТФ. 1985. Т. 41. С. 439. Препринт ИТЭФ-178. М., 1985. ЯФ. 1986. Т. 44. С. 1103.
5. Popov V. S., Mur V. D., Shchegelykin A. V. et al. // Phys. Lett. A. 1987. V. 124. P. 77.
6. Popov V. S., Mur V. D., Sergeev A. V. et al. // Phys. Lett. A. 1990. V. 149. P. 418, 425.
7. Вайнберг В. М., Попов В. С., Сергеев А. В. // ЖЭТФ. 1990. Т. 98. С. 847.
8. Вайнберг В. М. и др. // ТМФ. 1988. Т. 74. С. 399.
9. Imbo T., Sukhatme U. // Phys. Rev. D. 1983. V. 28. P. 418. 1985. V. 31. P. 2655.
10. Imbo T., Pagnamenta A., Sukhatme U. // Phys. Rev. D. 1984. V. 29. P. 1669.
11. Mlodinow L., Shatz M. // J. Math. Phys. 1984. V. 25. P. 943.
12. Мур В. Д., Попов В. С., Сергеев А. В. // ЖЭТФ. 1990. Т. 97. С. 32.
13. Степанов С. С., Тугик Р. С. // ЖЭТФ. 1991. Т. 100. С. 415.
14. Попов В. С., Щеблыкин А. В. // ЯФ. 1991. Т. 54. С. 1582.
15. Dyson F. J. // Phys. Rev. 1952. V. 85. P. 631.
16. Bender C. M., Wu T. T. // Phys. Rev. Lett. 1968. V. 21. P. 406. 1971. V. 27. P. 461.
17. Bender C. M., Wu T. T. // Phys. Rev. D. 1973. V. 7. P. 1620.
18. Alvarez G. // Phys. Rev. A. 1988. V. 37. P. 4079.
19. Benassi L., Grecochi V., Harrell E. et al. // Phys. Rev. Lett. 1979. V. 42. P. 704, 1430.
20. Silverstone H. J., Adams B. G., Cizek J. et al. // Phys. Rev. Lett. 1979. V. 43. P. 1498.
21. Alliluev S. P., Eletsky V. L., Popov V. S. et al. // Phys. Lett. A. 1979. V. 73. P. 103. 1980. V. 78. P. 43. ЖЭТФ. 1982. Т. 82. С. 77.
22. Avron J. E., Adams B. G., Cizek J. et al. // Phys. Rev. Lett. 1979. V. 43. P. 691.
23. Popov V. S., Eletsky V. L., Turbiner A. V. // Phys. Lett. B. 1977. V. 72. P. 99. ЖЭТФ. 1978. Т. 47. С. 445.
24. Аллильев С. П., Вайнберг В. М., Попов В. С. // ДАН СССР. 1982. Т. 265. С. 597.
25. Вайнберг В. М., Попов В. С. // ДАН СССР. 1983. Т. 272. С. 335.
26. Вайнберг В. М., Мур В. Д., Попов В. С. и др. // Препринт ИТЭФ 160-89, М., 1989.
27. Tietz T. // J. Chem. Phys. 1956. V. 25. P. 787.
28. Демков Ю. Н., Островский В. Н. // ЖЭТФ. 1972. Т. 62. С. 125.
29. Комаров И. В., Пономарев Л. И., Славянов С. Ю. Сфериодальные и кулоновские сфероидальные функции. М.: Наука, 1976.
30. Попов В. С., Мур В. Д., Сергеев А. В. // Препринт ИТЭФ 114-89. М., 1989.
31. Lopez-Cabrera M., Goodson D. J. et al. // Phys. Rev. Lett. 1992. V. 68. P. 1992.
32. Common A. K. // J. Phys. 1982. V. A15. P. 3665.
33. Харди Г. // Расходящиеся ряды. М.: ИИЛ, 1951.

Институт теоретической
и экспериментальной физики

Поступила в редакцию
20.04.92

Примечание при корректуре (23 сентября 1992 г.). После того, как данная работа была закончена и направлена в печать, нам стала известна работа Лопец-Кабрера, Гудсона, Хершбаха и др. [31], посвященная высшим порядкам $1/D$ -разложения для молекулярного иона водорода. Используя нетривиальные численные методы, эти авторы показали, что асимптотика коэффициентов в области $R < R_*$ имеет вид (11), и определили зависимость борелевского параметра $\delta_0 = 1/2a$ от приведенного расстояния R . Аналитические формулы (26), (28) в [31] не приводятся. Расчет по (26) с высокой точностью (5–8 знаков) согласуется с численными значениями δ_0 , приведенными в указанной работе (определение R в [31] отличается от нашего множителем 3/2).

V. S. Popov, A. V. Sergeev, A. V. Shchegelykin

ON THE STRUCTURE OF LARGE ORDERS IN $1/n$ -EXPANSION

The asymptotic behaviour of large orders in $1/n$ -expansion is found for the problems of quantum mechanics. The coefficients of $1/n$ -expansion $\varepsilon^{(k)}$ are shown to increase as a factorial $k! a^k$ at $k \rightarrow \infty$. The a -parameter vs coupling constant dependence is studied. The analytic formulas obtained agree with the numerical calculations. The structure of $1/n$ -expansion is considered in detail for the Yukawa, Hultén and funnel potentials, as well as for the Stark effect in hydrogen and for the molecular ion H^- .